

透水性の異なる二層間の自由水面挙動について(第2報)

徳島大学工学部 正員 山上 拓男
徳島大学大学院 学生員 武正 敏男

1. まえがき

前報告では、ロックフィルダムを例にとり、F.E.M.Kによる透水性の異なる二層間の自由水面決定法を提示した。本報告は、前回用いた解析上の仮定が確認されるものか否かを、Hele-Shawモデルを用いて実験を行い、内部浸出面の存在の有無および流出流量の取り扱いについて検討し、そして実験結果とFEM解析結果との比較検討を行ったものである。

2. 実験概要

浸透流の実験解析として一般に用いられる手法としては、砂モデル、電気相似モデル、Hele-Shawモデル(粘性流モデル)等があるが、本実験では透水性の制御の容易さ、および自由水面形状の可視性という点より、Hele-Shawモデルを用いた。この方法は、粘性流体を狭い間隔で層流状態で流れさせたの運動方程式とDarcyの法則との相似関係から、これを利用したものである。そして、本研究のように部分的に透水性が異なる場合は、間隔の幅を変えるばく自由水面を有する浸透問題に適している。Fig-1に今回用いたHele-Shawモデルの概要を示す。また、モデルの諸寸法はFig-2-(a), (b)に示す通りである。ロックフィルダムにおける、コア部およびロック部の透水係数は表々均一と仮定し、Hele-Shawモデルでの各々の間隔の幅を1.0 mm, 6.0 mmとした。また、傾斜コア型ダムおよび中央コア型ダムのコア部、ロック部の間隔の幅は、それぞれ準じた幅とした。そして、どちらの型のダムの場合にも、上流側水位を30.0 cmで固定し、下流側の水位を0, 5, 10, 20 cmの4種類で固定して実験を行った。また、自由水面形状の測定は、水面形が定常状態には、たとえ写真撮影と同時にアクリル板上からの水面のトレースによることを行った。なお、今回の実験では粘性流体としてエンジンオイルを用い、この液体の動粘性係数は、 19.8°C で6.492 ST.であった。

3. 実験結果およびFEM解析結果との比較

Fig-3, 4に傾斜コア型ダム、中央コア型ダムの実験結果(実線)ならびにFEMによる解析結果(破線)を示す。実験結果より明らかのように、傾斜コア型ダムおよび中央コア型ダムにおいて、コア部ヒロック部の浸出面での外部浸出面の存在がはつきり認められ、不飽和浸透領域の存在も確認された。そして、傾斜コア型ダムの場合、内部浸出面より流出した流体はほぼ直角に下流側自由水面に流入している。また中央コア型ダムの場合、内部浸出面より流出した流体は、コアの表面を沿って下流側自由水面に流入している。以上の実験結果より、前回FEM解析において仮定した内部浸出面の存在、および傾斜コア型ダム、中央コア型ダムにおける内部浸出面よりの流出流量の取り扱いが相当なものであることが確認された。Fig-4を示すように、中央コア型ダムの場合、コア部での解析結果と実験結果とは比較的よく一致がみられた。また、解析結果および実験結果において、下流側水位が0, 5, 10 cmと変化しても、コア部での水面形がほとんど変化しなかつた。

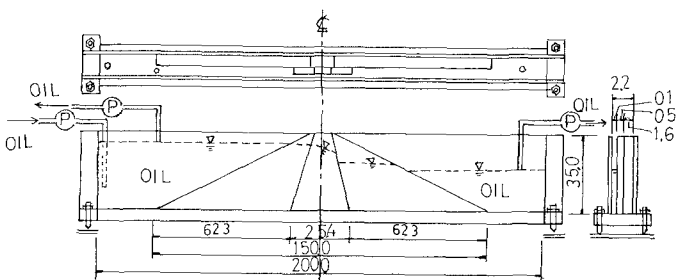


Fig-1 実験装置(材質アクリル板)

ことは興味深い。また、傾斜コア型ダム、中央コア型ダムのどちらの場合においても、解析結果が実験結果よりも高い自由水面を与えたことは、下流側水位が 20 cm の場合、実験結果と解析結果とがよく一致していることを考えると、アクリル板のひずみによって、下層の開きが上層に対して大きくなつた可能性がその一因として考えられる。(FEM 解析において、下層の透水係数をモデルより足まろい値の 2 倍として計算した場合、実験結果にかなり接近した自由水面形を得た。)

4. おわり

今回の Hele-Shaw 実験により 内部浸出面の存在、および不飽和浸透領域の存在が再認識された。そして、前回 FEM 解析法用いた内部浸出面からの流体流量の取り扱いが妥当なものであつたことが確認された。今回アクリル板を実験に使用したため、厳密な開き半幅の制御が困難であるが、今後モデルのスケールを縮小し、ひずみの小さなガラス板によつて、厳密な開きの制御を行い、再度 Hele-Shaw 実験を行つて FEM 解析法と比較したいと考えている。また、不飽和浸透領域を完全に考慮した FEM 解析法の開発も、今後の課題としている。

*参考文献

- (1) 山上、武正：透水性の異なる自由水面挙動について、第 28 回 土木学会講演概要、昭和 51 年。

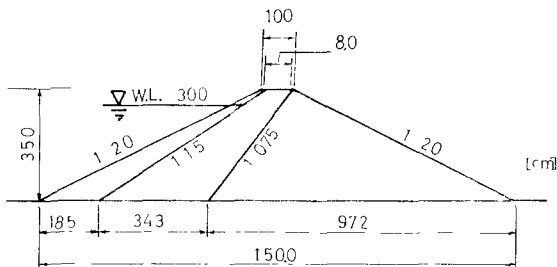


Fig-2-(a) 傾斜コア型モデル

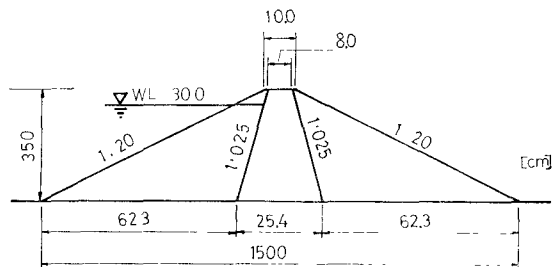


Fig-2-(b) 中央コア型モデル

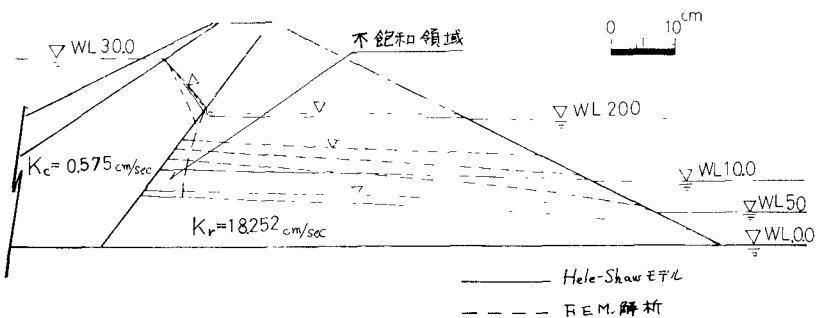


Fig-3 傾斜コア型モデルの実験結果および解析結果

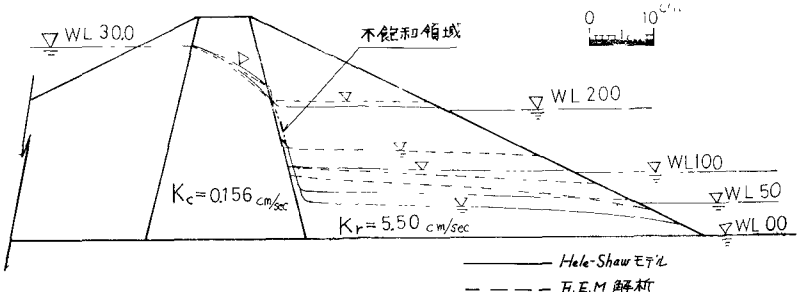


Fig-4 中央コア型モデルの実験結果および解析結果